

京都大学防災研究所 正員 大年 邦雄
 同 上 正員 今本 博健
 京都大学大学院 学生員 吉村 庄平

1. はじめに：著者らは先に開水路流れにおける流速分布特性について実験的に検討し¹⁾、次のような結果を報告した。すなわち、滑面流れにおいて計測した流速分布を壁法則表示すると、粘性底層上に片持続線上に直線近似される計数則の良く適合する領域が存在するが、1本の直線では近似しえず、外部層では計数則からの離反がみられる。また、外部層の流速分布自身も直線近似されるようである。2、全体としては2本の直線で近似可能である。なお、粗面流れのものも同様な傾向を示す。このとき、路床側の直線で近似される領域を内部計数層、水面側を外部計数層と呼ぶことにすると、それを離す領域における流速分布式の式形は計数則と同一のものを用いることができるが、式中に含まれる各種定数はそれを離す領域で異なり、水理条件によっても変化する。

固体粒子を浮遊する流れに関する従来の実験的および理論的研究においては、その基本となるべき清水流の全領域に計数則が適用されており、上述した内部計数層から外部計数層への遷移(外部層における計数則からの離反)はあまり認識されないようである。2、再検討を要すると思われる。

本報では、上述した認識を基礎として、開水路浮遊砂流の流速分布特性について実験的検討を加える。

2. 流速分布形状：浮遊砂流の流速分布について検討を行なう前に、清水流の流速分布形状について簡単に検討しておく。清水流の流速分布式に關しては、従来より種々のものが提案されていて、著者らが各種分布式の計測値との適合性を検討した結果、Zagustin式²⁾あるいはColes式³⁾の適合性が比較的高いことがわかったので、ここではこれらの2式を取り上げることとし、比較の意味で計数則を併示する。なお、これら2の諸式は次のように表わされる。

$$\text{Log-Law: } \frac{U}{U_f} = \frac{1}{k} \ln \frac{U_f y}{2} + A_5 \quad (1)$$

$$\text{Zagustin: } \frac{U}{U_f} = \frac{1}{k} \ln \frac{1 - (1 - y/H)^{1/2}}{1 + (1 - y/H)^{1/2}} + A_5 + \frac{1}{k} \ln \frac{U_f y}{2} + \ln \frac{4}{3} \quad (2)$$

$$\text{Coles: } \frac{U}{U_f} = \frac{1}{k} \ln \frac{U_f y}{2} + A_5 + \frac{2B}{k} \sin^2 \left(\frac{\pi}{2} \frac{y}{H} \right) \quad (3)$$

ここで、 y は路床からの高さ H における流速、 U_f は摩擦速度、 k はカルマン定数、 H は水深、 A_5 は横合定数、 B は係数である。なお、式(2)における横合定数は、計数則域(実際には $y/H \approx 0$ の領域)式(1)に一致するよう決定している。

図-1は、滑面上の清水流において計測した流速分布と上記の諸式とを比較したものである。前述したように、計測値は $y/H > 0.2$ の領域において計数則で表わされるものより上方に離反しているが、ZagustinおよびColesの各分布式は、そのような傾向をうまく表わしている。

次に、浮遊砂流の流速分布形状について検討する。ここでは Coles式を浮遊砂流へ拡張してその適合性を調べることとともに、近年、板倉⁴⁾によれば提案された流速分布式を取上げて検討を加える。それらの流速分布式は次のように表わされる。

滑面上の浮遊砂流；

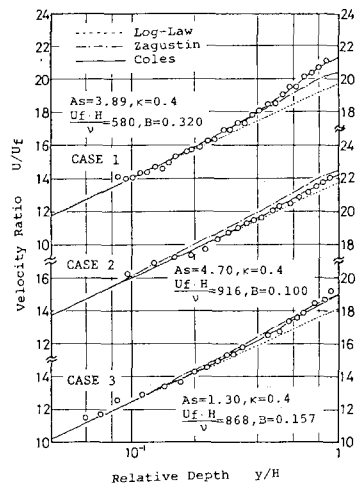


図-1 清水流の流速分布(滑面流れ)

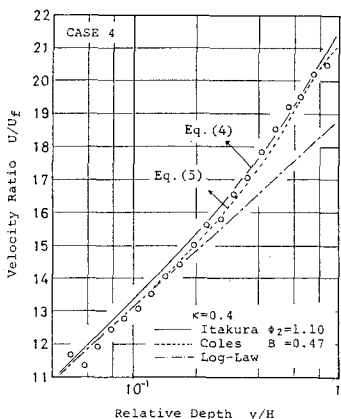


図-2 浮遊砂流の流速分布(滑面流れ)

表-1 各種パラメータと濃度との関係

パラメータ	滑面流れ	粗面流れ
K	増加	減少
As	増加	—
Ar	—	一定
ks	—	減少
B	増加	減少
k'	減少	減少

$$\text{板倉式: } \frac{U_0}{U_f} = As + \frac{1}{k} \ln \frac{U_f}{R_s} + \frac{1}{k} \ln \frac{Y}{H} \quad (4)$$

$$\text{Coles式: } \frac{U_0}{U_f} = [As + \frac{1}{k} \ln \frac{U_f}{R_s}] + \frac{2B}{k} \sin(\frac{\pi Y}{2H}) \quad (5)$$

粗面上の浮遊砂流；

$$\text{板倉式: } \frac{U_0}{U_f} = Ar + \frac{1}{k} \ln \frac{Y}{R_s} + \frac{1}{k} \ln \frac{Y}{H} \quad (6)$$

$$\text{Coles式: } \frac{U_0}{U_f} = [Ar + \frac{1}{k} \ln \frac{Y}{R_s}] + \frac{2B}{k} \sin(\frac{\pi Y}{2H}) \quad (7)$$

$$\text{ここで, } \phi_2 = \alpha H k g U_f^3 (Y-1) / U_0 C_m \quad (8)$$

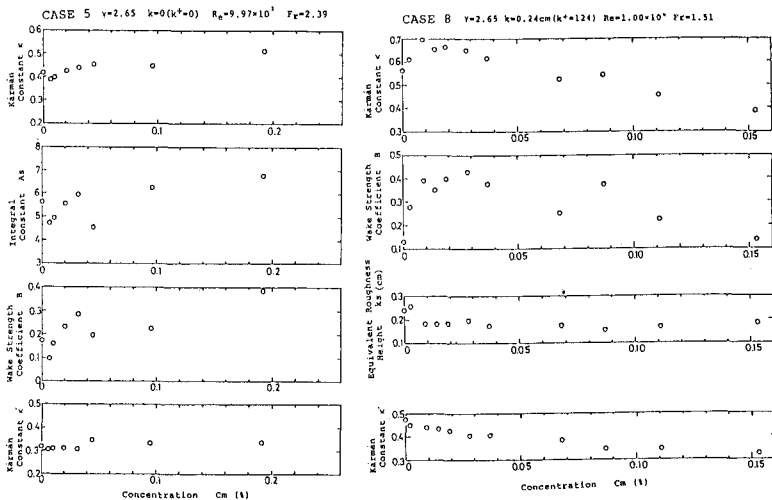
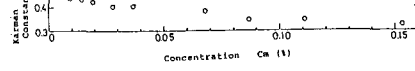
α は係数, g は重力の加速度, γ は浮遊砂の比重, U_0 は沈降速度, C_m は断面平均体積濃度である。

図-2は、滑面上の浮遊砂流における計測した流速分布を式(4), (5)と比較したものである。浮遊砂流におけるも、清水流と同様、計測値は外部層における離合してあり、両分布式は式中に含まれる中であるBによってそのような傾向をうまく表している。ところが、式(4)における中には流れおよび浮遊砂の特性量を用いて式(8)より決定され、その物理的意味は明確であるが、清水流における式(4)は計数則に一致する。しかし、上述したように清水流の流速分布を計数則では十分に表し得ない。一方、式(5)は、係数Bの物理的意味は不明確であるが流速分布形状を的確に表現しており、清水流および浮遊砂流における式中に含まれる各種パラメータと水理量との関係が明確にわかるならば、流速分布式として非常に優れていると考えられる。

3. 流速分布を規定する各種パラメーター：清水流および浮遊砂流に対して Coles式の適合性の高さことが明らかになったので、以下では、Coles式を規定する各種パラメーターに及ぼす浮遊砂の効果について検討する。実験では、滑面および粗面上の流れにおける浮遊砂濃度を系統的に変化させた場合について流速分布を計測し、次のようにして各種パラメーター値を推定した。すなわち、 $Y/H \leq 0.2$ の領域で計数則が成立するとし、式(5)および(7)の[]の部分をその領域における計測値に適用して As , K , ks を算定した。このとき、粗面上の清水流では、相当砂粒粗度高 $ks (= k_{so})$ は路床の平均粗度高 k に等しいとして $Ar (= Ar_0)$ を算定し、浮遊砂流における Ar は一定($= Ar_0$)として取扱うことにより ks の変化を求めた。また、水面における計数則との流速差 $4U/U_f$ が $2B/k$ となることより B を算定した。このようにして算定した各種パラメーターと浮遊砂濃度との関係を、滑面および粗面について示すことを図-3および図-4のようになる。なお、図に示された k' は外部層($Y/H \geq 0.2$)における計測値を計数則で近似した場合のカルマン定数を意味している。各種パラメーター値はかなりばらついており、図より、浮遊砂濃度による明確な変化傾向を見出すのは困難ではあるが、浮遊砂濃度の増加に伴う各種パラメーターの変化は表-1のようまとまることがあると思われる。

4. おわりに：浮遊砂濃度に起因する流速分布形状の変化について定量的な検討を加えたが、流速分布式を規定する各種パラメーターと濃度との関係は、図-3, 4に示すようにばらつきが大きいたため、今後、詳細な検討が必要である。

参考文献 1) 今本博健・大年邦雄：京都大学防災研究所年報、第23号B-2, pp.373~392, 1980. 2) Zagustin, K. : La Houille Blanche, 1969-2, pp.113~118, 1969. 3) Coles, D. : Jour. Fluid Mech., Vol. 1, part 2, pp. 191~226, 1956. 4) Itakura T. and T. Kishi : Proc. ASCE, Vol. 106, pp.1325~1343, 1980.

図-3 各種パラメータと濃度との関係
(滑面流れ)図-4 各種パラメータと濃度との関係
(粗面流れ)